

# **Aplicações de modelos de efeitos mistos em modelagem e análises experimentais**

Michel Colmanetti

Campinas/SP - 2019

# Modelos de efeitos mistos

- Definição de modelos de efeitos mistos
- Variáveis aleatórias
- Ajuste de modelos
  - Modelagem da variância
  - Calibração de modelos
- Análise experimental

# Modelos de efeitos mistos

## MODELOS ESTATÍSTICOS

- Lineares ou não lineares
- Parâmetros são associados com a população

$$Y = \beta_0 + \beta_1 * x + e$$

sendo:  $\beta_0$  e  $\beta_1$  *são efeitos fixos*

# Modelos de efeitos mistos

## MODELOS ESTATÍSTICOS

- Parâmetros associados à unidade experimental de uma população

$$Y = (b_0 + b_1) + \beta_0 + \beta_1 * x + e$$

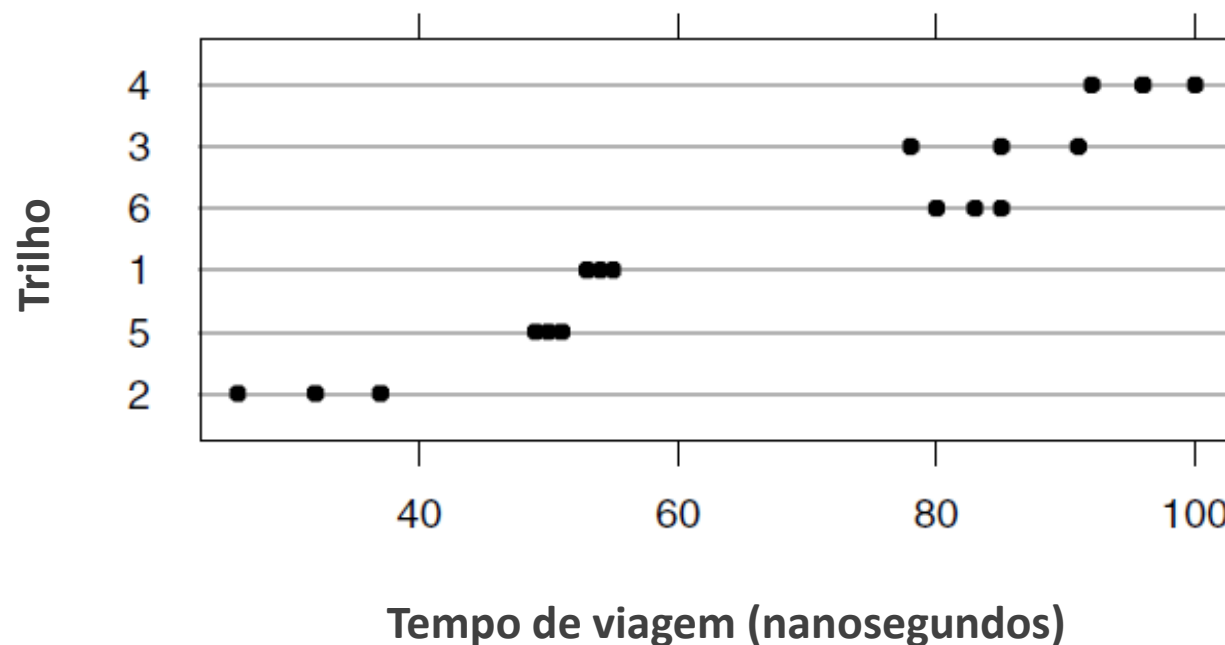
sendo:  $\beta_0$  e  $\beta_1$  *são efeitos fixos*;  $b_0$  e  $b_1$  *efeitos aleatórios*

- Modelos de efeitos mistos: efeitos fixos e aleatórios

# Modelos de efeitos mistos

## MODELOS ESTATÍSTICOS

- Exemplo: teste de estresse longitudinal em trilhos (Devore, 2000)
- Experimento
  - Seis trilhos escolhidos aleatoriamente
  - Três medições no tempo



# Modelos de efeitos mistos

## MODELOS ESTATÍSTICOS

- Questões:
  - O tempo médio de viagem para um trilho “típico”
  - Variação do tempo de viagem para cada trilho (variabilidade dentro dos trilhos)
  - Variação do tempo de viagem entre os trilhos (variabilidade entre os trilhos)

# Modelos de efeitos mistos

## MODELOS ESTATÍSTICOS

- *O tempo médio de viagem para um trilho “típico”*

$$y_{ij} = \beta + \epsilon_{ij}$$

Onde  $y_{ij}$  corresponde ao tempo de viagem para cada observação  $j$  e trilho  $i$ ; e  $\epsilon_{ij} \sim N(0, \sigma^2)$ ;

$\beta$  representa a media do tempo de viagem de todos trilhos

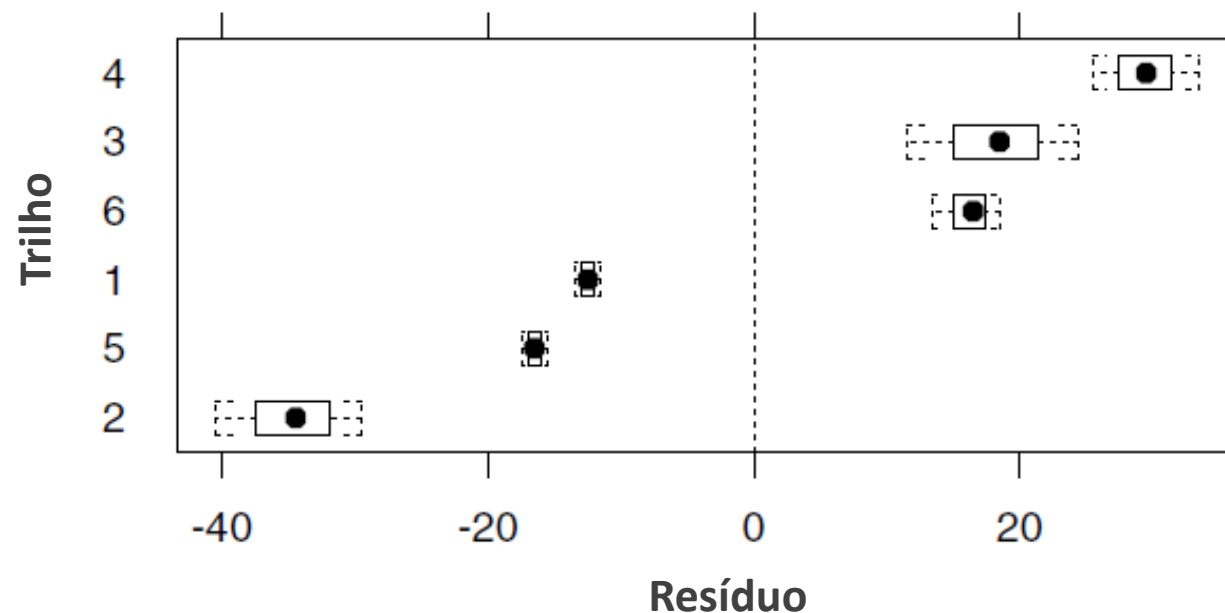
# Modelos de efeitos mistos

## MODELOS ESTATÍSTICOS

- *O tempo médio de viagem para um trilho “típico”*

- $\beta = 66.5$

- $\hat{\sigma} = 23.645$





# Modelos de efeitos mistos

## MODELOS ESTATÍSTICOS

- *Variação do tempo de viagem para cada trilho (variabilidade dentro dos trilhos)*

$$y_{ij} = \beta_i + \epsilon_{ij}$$

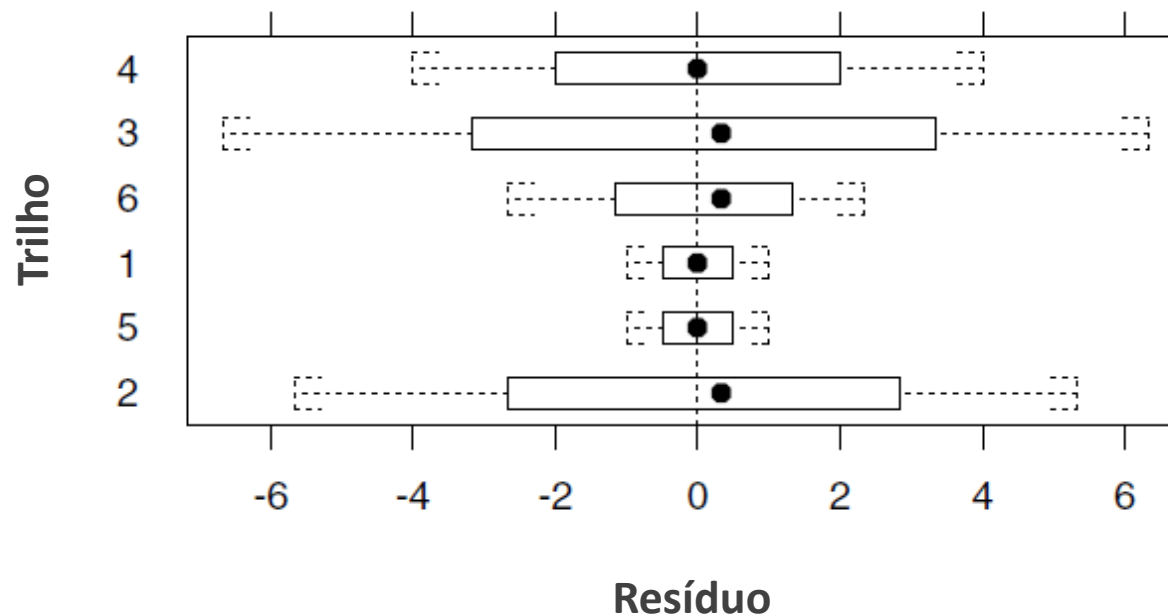
Onde  $y_{ij}$  corresponde ao tempo de viagem para cada observação  $j$  e trilho  $i$ ; e  $\epsilon_{ij} \sim N(0, \sigma^2)$

$\beta_i$  há efeito do trilho  $i$

# Modelos de efeitos mistos

## MODELOS ESTATÍSTICOS

- *Variação do tempo de viagem para cada trilho (variabilidade dentro dos trilhos)*
  - $\beta_i$  = média para cada trilho  $i$
  - $\hat{\sigma} = 4.0208$



# Modelos de efeitos mistos

## MODELOS ESTATÍSTICOS

- Questões:
  - ✓ O tempo médio de viagem para um trilho “típico”
  - ✓ Variação do tempo de viagem para um único trilho (variabilidade dentro dos trilhos)
  - *Variação do tempo de viagem entre os trilhos (variabilidade entre os trilhos)*

# Modelos de efeitos mistos

## MODELOS ESTATÍSTICOS

- Questões:
  - ✓ O tempo médio de viagem para um trilho “típico”
  - ✓ Variação do tempo de viagem para um único trilho (variabilidade dentro dos trilhos)
  - *Variação do tempo de viagem entre os trilhos (variabilidade entre os trilhos)*
- Modelos estão condicionados à amostra, mas o objeto de estudo é sempre uma população.

# Modelos de efeitos mistos

## MODELOS ESTATÍSTICOS

- *Variação do tempo de viagem entre os trilhos (variabilidade entre os trilhos)*

$$y_{ij} = \beta + b_i + \epsilon_{ij}$$

Onde  $y_{ij}$  corresponde ao tempo de viagem para cada observação  $j$  e trilho  $i$ ;  $\epsilon_{ij} \sim N(0, \sigma^2)$  ; e  $b_{ij} \sim N(0, \sigma_b^2)$

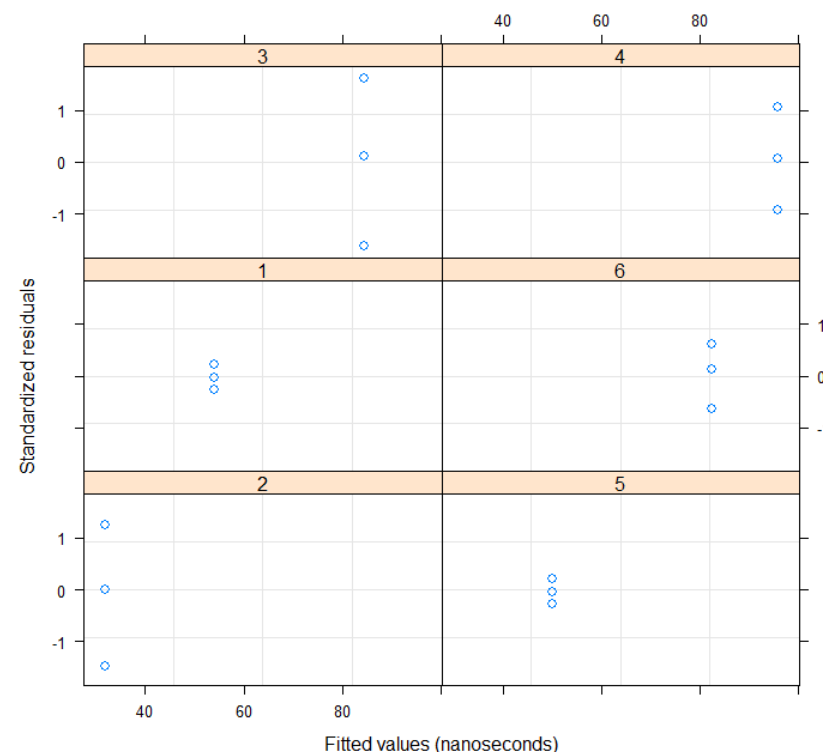
$\beta$  é a media da população e  $b_i$  o efeito aleatório de cada trilho  $i$ , que varia em relação à media da população.

# Modelos de efeitos mistos

## MODELOS ESTATÍSTICOS

*Variação do tempo de viagem entre os trilhos (variabilidade entre os trilhos)*

- $\beta = 66.5$
- $b_i = -12.4, -34.5, 18.0, 29.2, -16.4, 16.0$
- $\hat{\sigma} = 4.0208$
- $\sigma_b^2 = 24.80547$



# Modelos de efeitos mistos

## MODELOS ESTATÍSTICOS

- Modelos de efeitos mistos descreve uma relação entre a variável resposta e covariáveis que estão agrupadas, e um ou mais fatores.
- Podem ser:
  - Dados longitudinais (Medidas repetidas)
  - Dados multi-hierárquicos
  - Design em blocos

# Modelos de efeitos mistos

## MODELOS ESTATÍSTICOS

- **nlme**(*model, data, fixed, random, groups, start, correlation, weights, method, ...*)
- *method* (Estimador): ML e REML
  - ML – Máxima verossimilhança (Default)
  - REML – Máxima verossimilhança restrita
- Distribuição Gaussiana

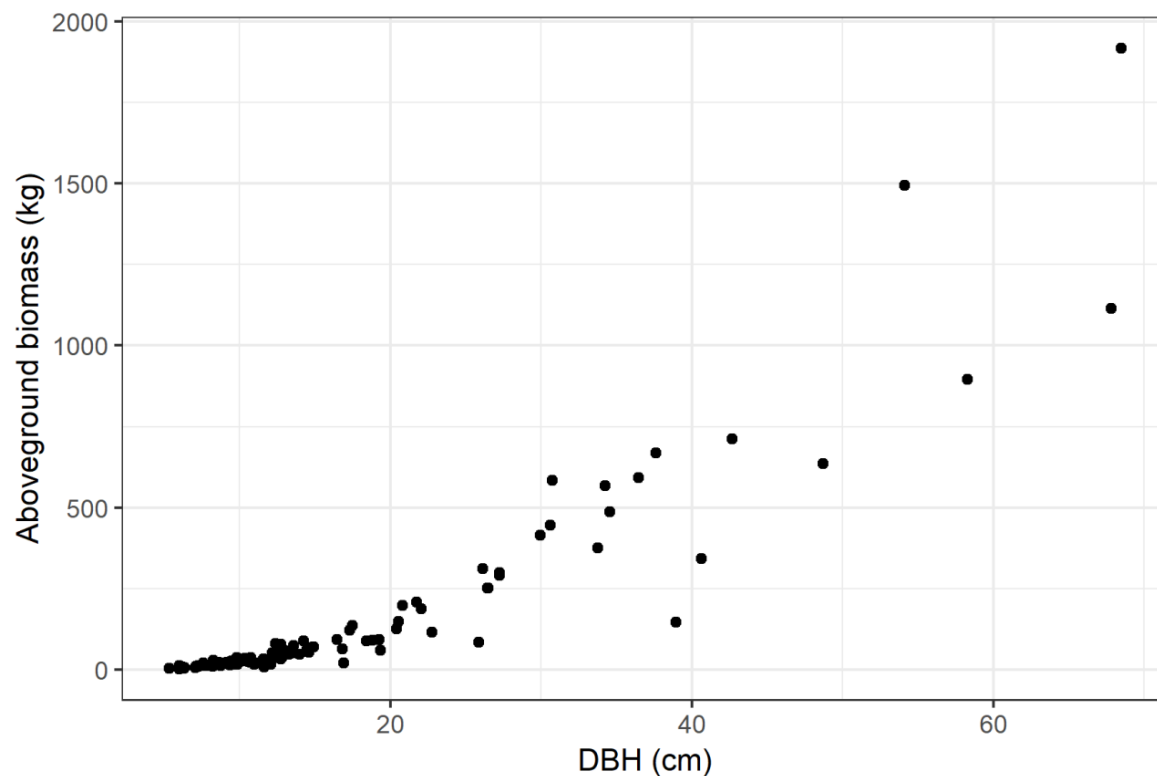


# Modelos de efeitos mistos

## MODELOS ESTATÍSTICOS

### Aplicação em biometria florestal:

- Volume/Biomassa florestal
  - I. Energia
  - II. Madeira
  - III. Celulose
  - IV. Estoque de carbono



# Modelos de efeitos mistos

## MODELOS ESTATÍSTICOS

Modelo florestal clássico para biomassa/volume:

- $agb_i = \beta_1 \cdot dbh_i^{\beta_2} \cdot \epsilon_i$

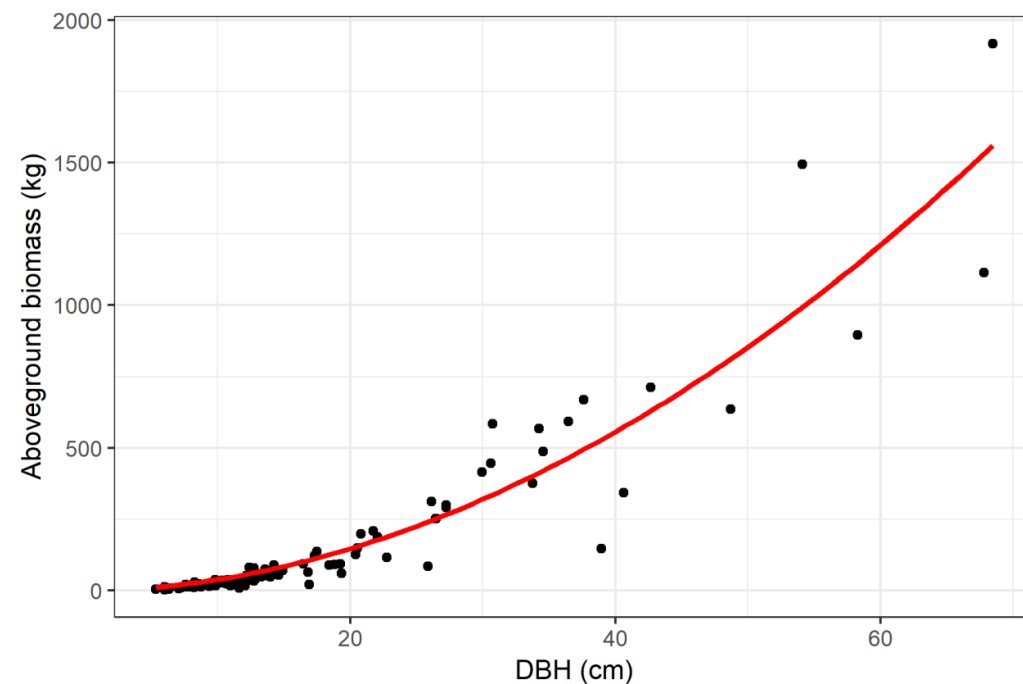
# Modelos de efeitos mistos

## MODELOS ESTATÍSTICOS

Modelo florestal clássico para biomassa/volume:

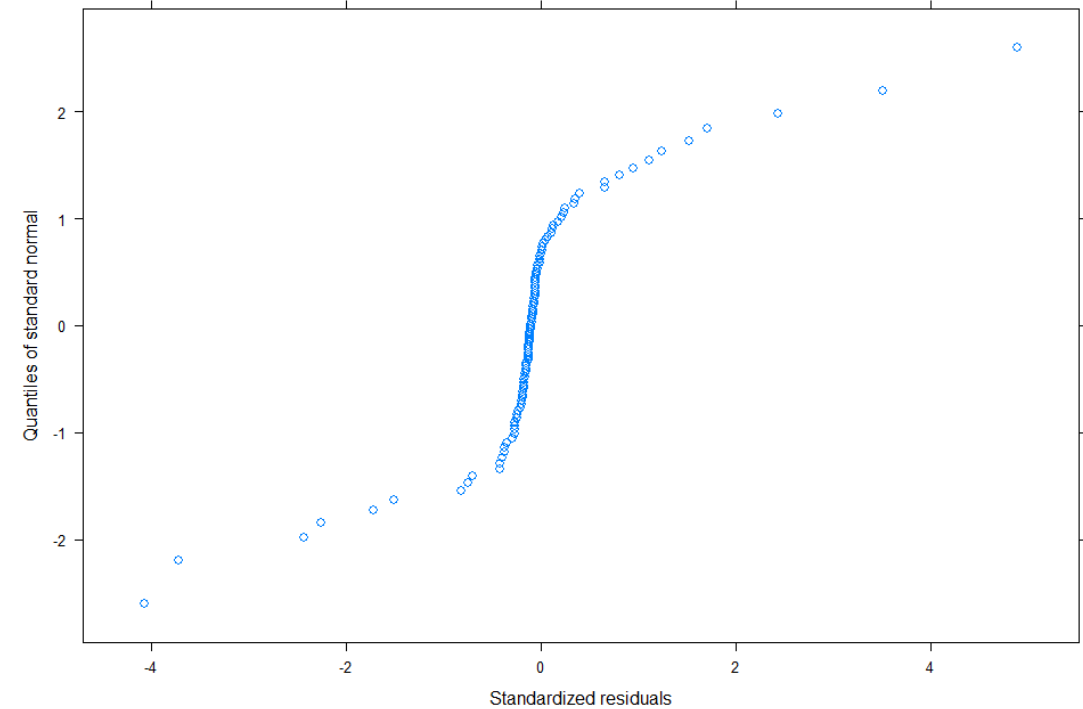
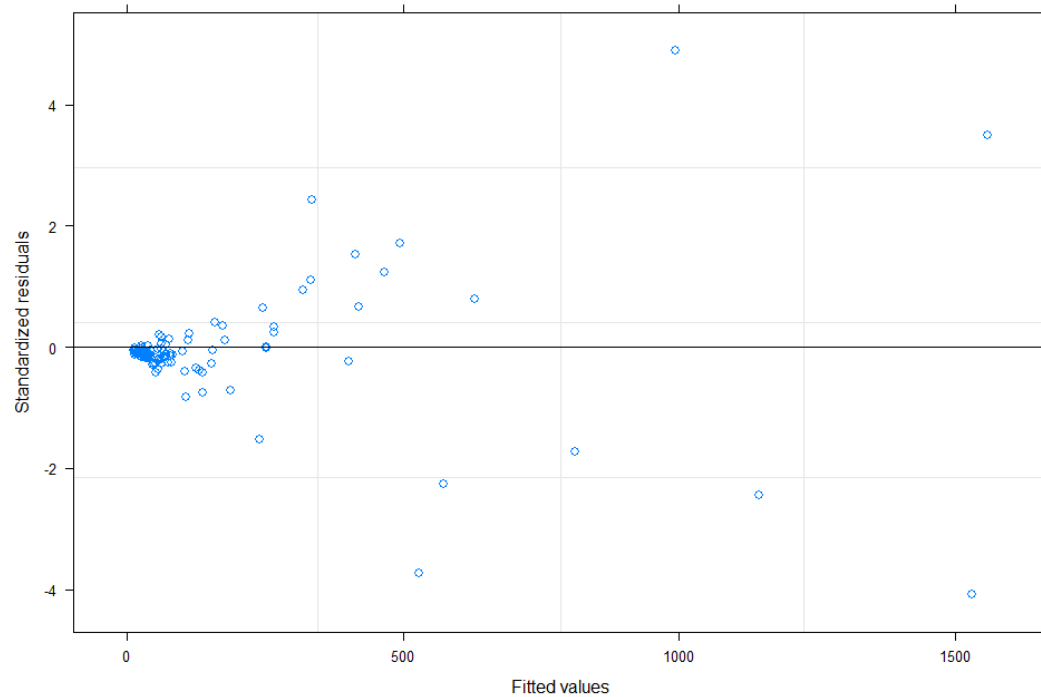
- $$agb_i = \beta_1 \cdot dbh_i^{\beta_2} \cdot \epsilon_i$$

Estimador: OLS;  $\epsilon_i \sim N(0, \sigma^2)$



# Modelos de efeitos mistos

## MODELOS ESTATÍSTICOS



# **Modelos de efeitos mistos**

## **FLORESTAS NATIVAS**

- Elevada diversidade de espécies
  - Heterogêneas
  - Inequiâneas

# Modelos de efeitos mistos

## FLORESTAS NATIVAS

### LOCAL DE ESTUDO

- 0.8 ha
- 90 espécies
- 16 espécies = 73 % de árvores

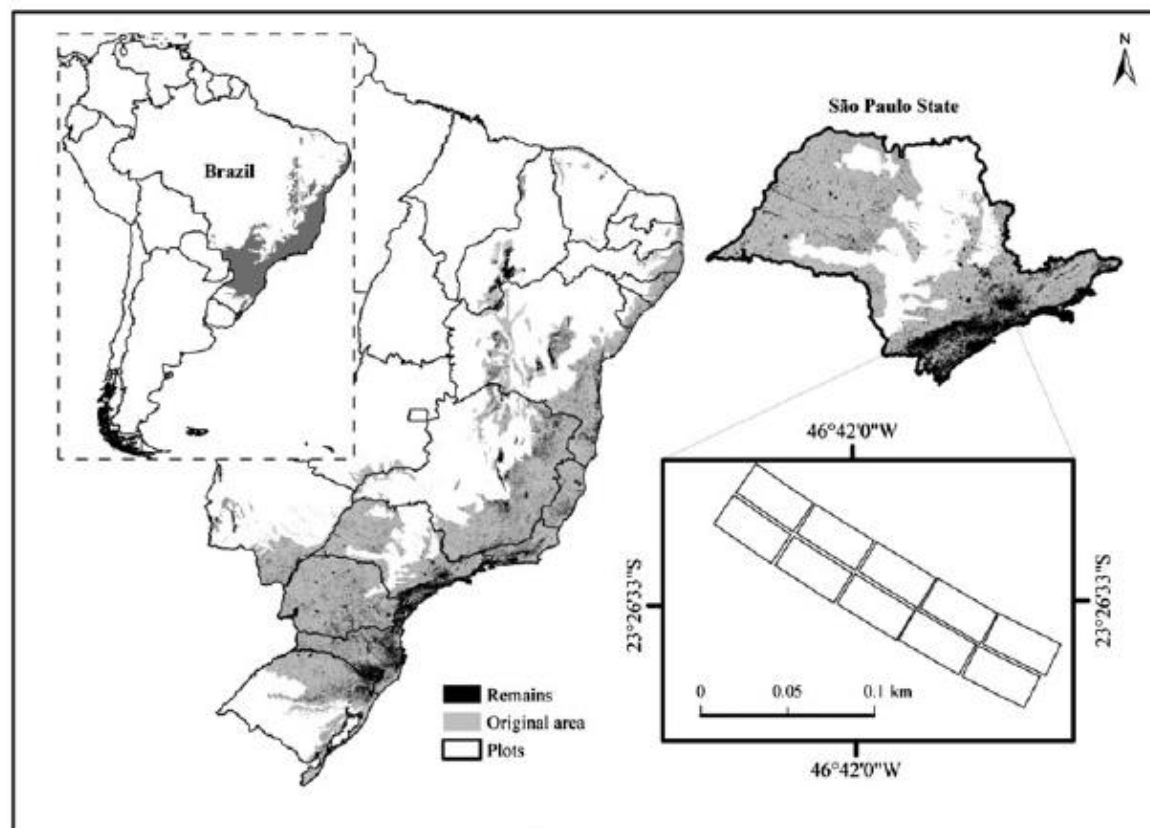


Figure 1. Plots on the study site located in Atlantic Forest near São Paulo, Brazil (sources: SOS Mata Atlântica, 2013; MMA, 2012; IBGE, 2010).

# Modelos de efeitos mistos

## FLORESTAS NATIVAS

Species	<i>dbh</i> (cm)	<i>wsg</i> (g cm <sup>-3</sup> )	<i>ht</i> (m)	<i>hcb</i> (m)	<i>agb</i> (kg)	Carbon (%)
	Mean (sd)	Mean (sd)	Mean (sd)	Mean (sd)	Mean (sd)	Mean (sd)
<i>Alchorneasidifolia</i> Müll. Arg. <sup>1</sup>	18.8 (12.0)	0.45 (0.01)	9.9 (2.6)	4.2 (1.6)	182.4 (233.4)	45.6 (1.3)
<i>Allophyluspetiolulatus</i> Radlk. <sup>3</sup>	13.1 (5.7)	0.53 (0.02)	10.8 (1.4)	6.2 (1.4)	67.0 (71.2)	44.8 (0.7)
<i>Cabraleacanjera</i> (Vell.) Mart. <sup>3</sup>	9.3 (1.9)	0.42 (0.04)	9.3 (1.0)	5.2 (1.8)	17.5 (7.74)	45.4 (1.3)
<i>Caseariasylvestris</i> Sw. <sup>2</sup>	13.2 (4.7)	0.55 (0.02)	9.4 (0.9)	4.0 (1.2)	64.1 (48.5)	45.0 (0.7)
<i>Ceibaspeciosa</i> (A. St.-Hil.)	32.1 (20.8)	0.31 (0.06)	12.3 (3.9)	8.4 (2.9)	294.8 (396.0)	42.9 (1.2)
<i>Croton floribundus</i> Spreng. <sup>1</sup>	16.8 (9.4)	0.53 (0.05)	12.4 (2.3)	7.1 (1.0)	153.6 (161.3)	45.3 (1.2)
<i>Cupaniaoblongifolia</i> Mart. <sup>2</sup>	12.9 (9.1)	0.68 (0.05)	8.0 (1.7)	3.1 (1.2)	100.4 (170.5)	44.1 (1.0)
<i>Jacaranda puberula</i> Cham. <sup>2*</sup>	12.9 (5.8)	0.34 (0.03)	9.7 (2.1)	5.8 (1.9)	44.2(54.9)	47.5 (1.5)
<i>Machaeriumvillosum</i> Vogel <sup>3*</sup>	15.3 (7.6)	0.58 (0.02)	11.3 (2.7)	6.8 (1.6)	104.6 (120.6)	45.5 (0.8)
<i>Myrciasplendens</i> (Sw.) DC. <sup>2</sup>	11.8 (3.4)	0.51 (0.03)	8.6 (2.4)	4.8 (1.1)	51.7 (27.6)	45.1 (0.8)
<i>Nectandraoppositifolia</i> Ness <sup>2</sup>	15.4 (7.5)	0.45 (0.05)	11.4 (2.2)	7.3 (1.5)	101.7 (96.9)	47.5 (1.0)
<i>Peraglabrata</i> (Schott) Poepp.	25.0 (23.6)	0.57 (0.06)	10.2 (3.9)	4.6 (1.8)	466.0 (701.8)	44.4 (0.8)
<i>Piptadeniagonoacantha</i> (Mart.) J. F.	20.3 (13.2)	0.58 (0.03)	13.9 (3.7)	8.0 (2.9)	250.1 (293.4)	45.5 (0.6)
<i>Sesseabrasiliensis</i> Toledo <sup>3</sup>	15.3 (4.6)	0.50 (0.07)	11.2 (2.4)	6.8 (2.7)	70.0 (42.4)	46.6 (1.7)
<i>Tetrorchidiumrubrivenium</i> Poepp. <sup>2</sup>	27.1 (20.1)	0.40 (0.03)	14.1 (3.0)	7.7 (1.8)	407.4 (536.1)	47.2 (0.8)
<i>Vochysiatucanorum</i> Mart. <sup>2</sup>	12.9 (4.7)	0.43 (0.03)	11.6 (2.7)	7.4 (2.1)	46.1 (34.6)	44.7 (0.9)
Overall	17.3 (13.0)	0.49 (0.10)	10.9 (3.0)	6.2 (2.4)	158.5 (297.7)	45.4 (1.6)

# Modelos de efeitos mistos

## FLORESTAS NATIVAS

**Modelo de efeitos mistos:**

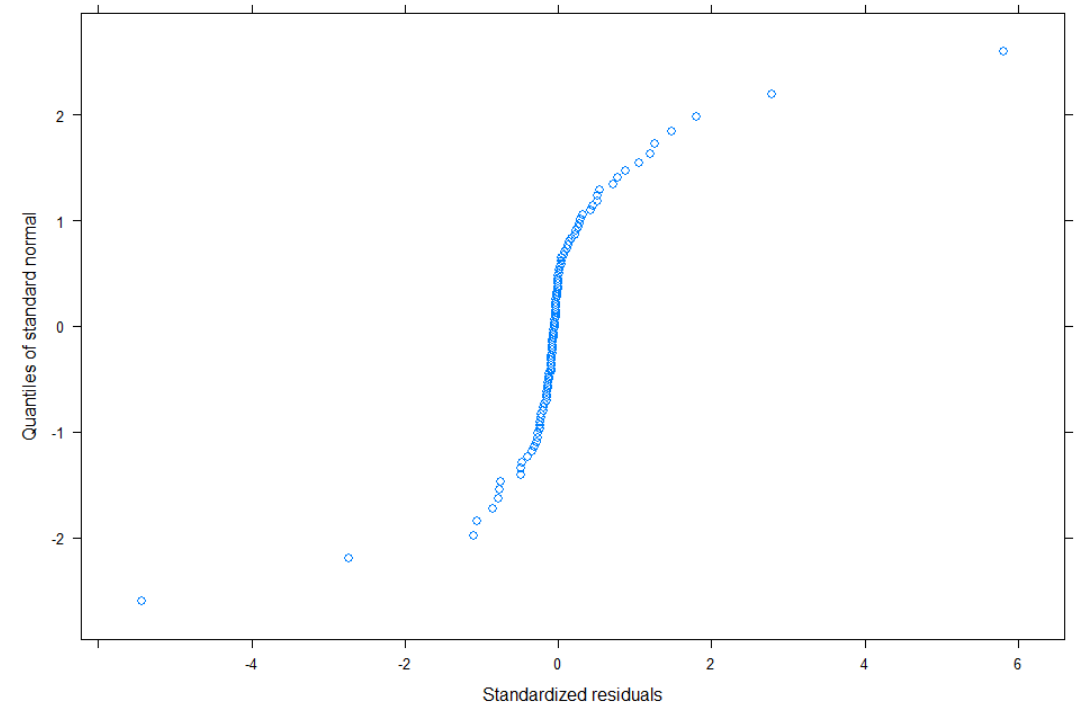
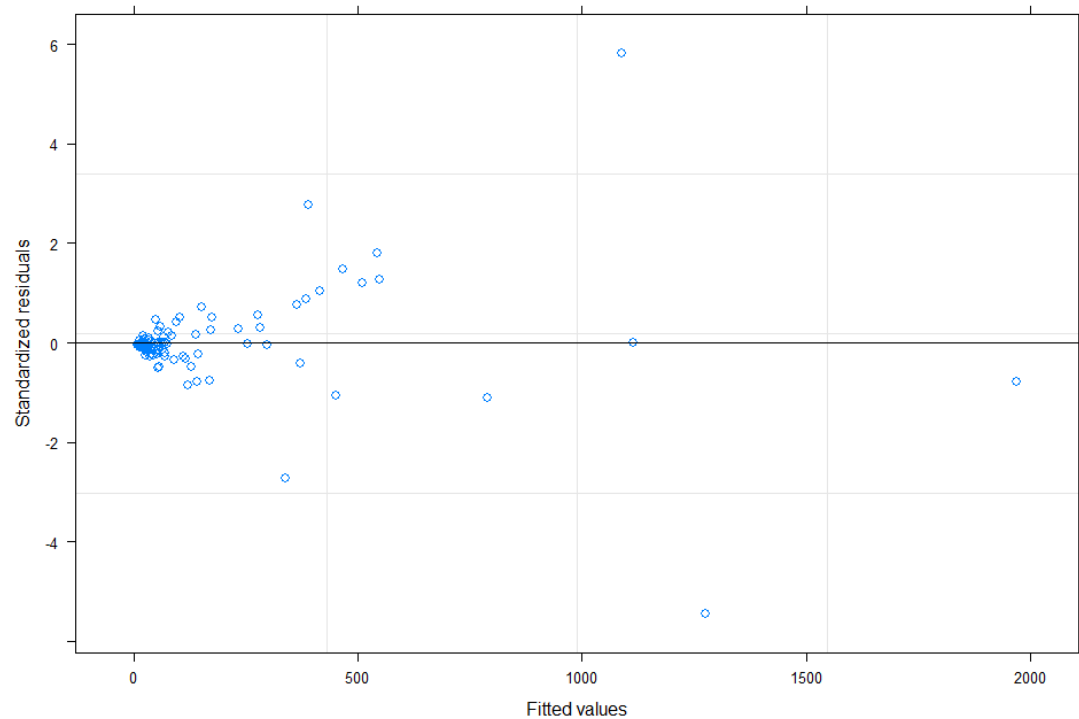
$$agb_{ij} = \beta_1 \cdot dbh_{ij}^{\beta_2} \cdot \epsilon_{ij}$$

- Estimador: nlme;  $e_{ij} \sim N(0, \sigma^2)$ ;
- *Sendo  $i$  = árvore;  $j$  = variável aleatória em nível de espécies.*



# Modelos de efeitos mistos

## FLORESTAS NATIVAS



# Modelos de efeitos mistos

## FLORESTAS NATIVAS

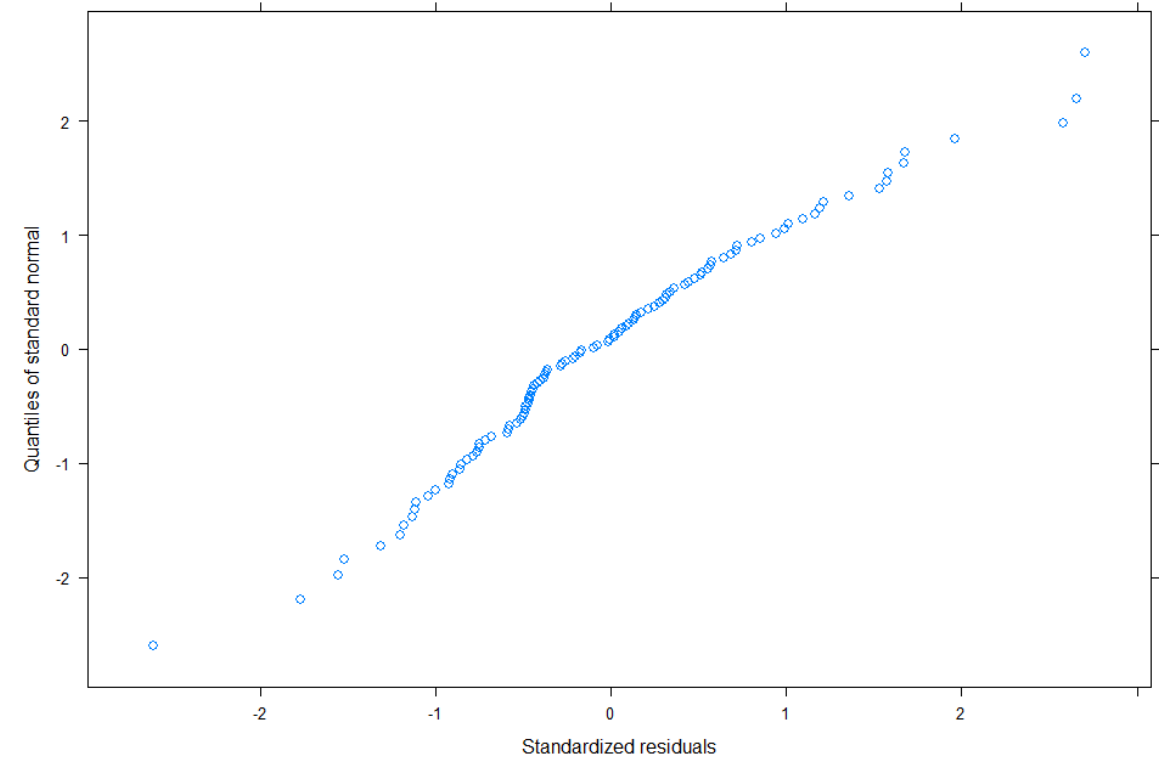
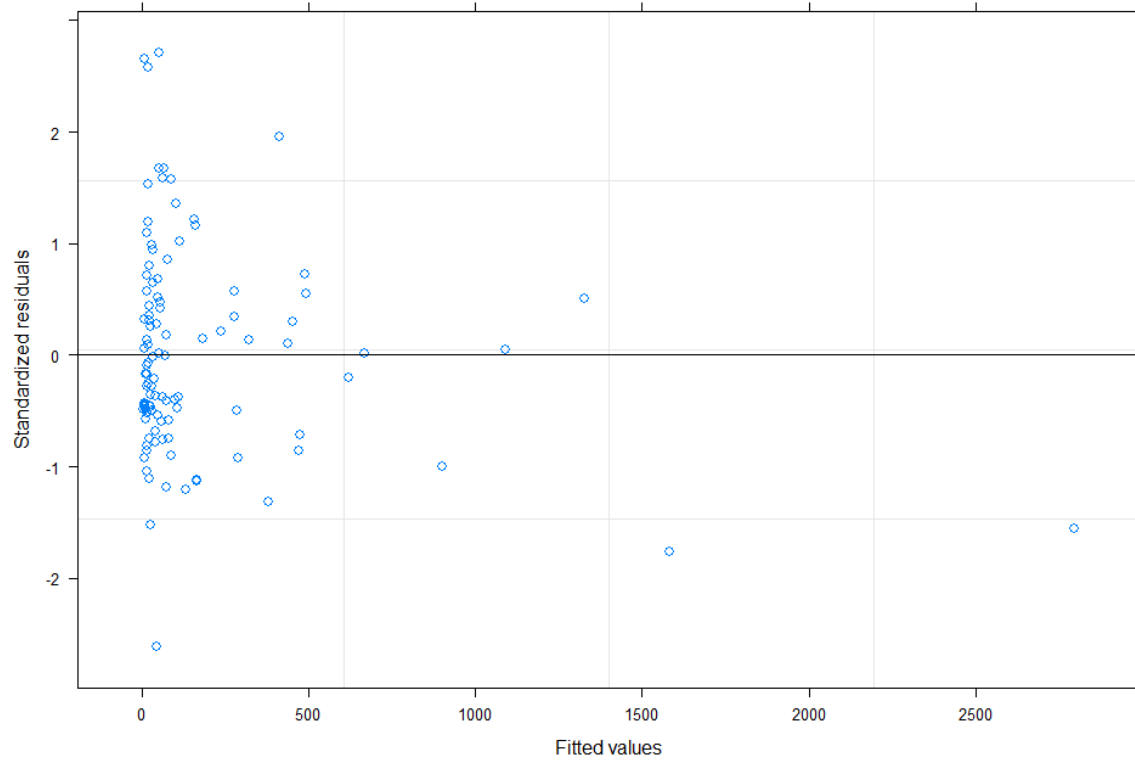
**Modelo de efeitos mistos com modelagem da variância:**

$$agb_{ij} = \beta_1 \cdot dbh_{ij}^{\beta_2} \cdot \epsilon_{ij}$$

- Estimador: nlme;  $e \sim N(0, Var(e_{ij}))$
- $Var(e_{ij}) = \sigma^2 \cdot dbh_{ij}^{(0.2)}$

# Modelos de efeitos mistos

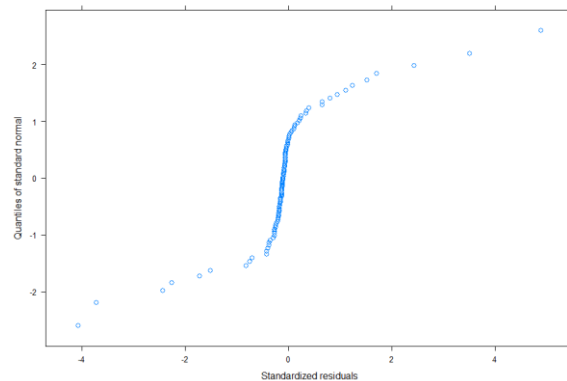
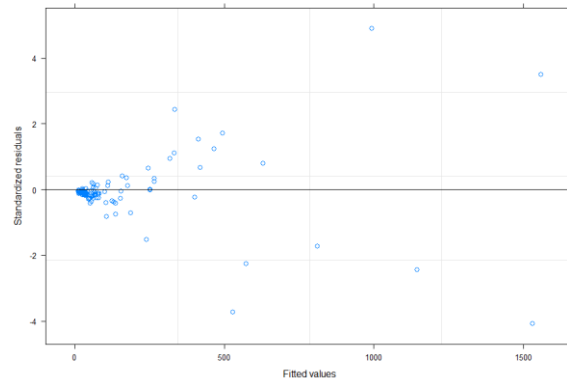
## FLORESTAS NATIVAS



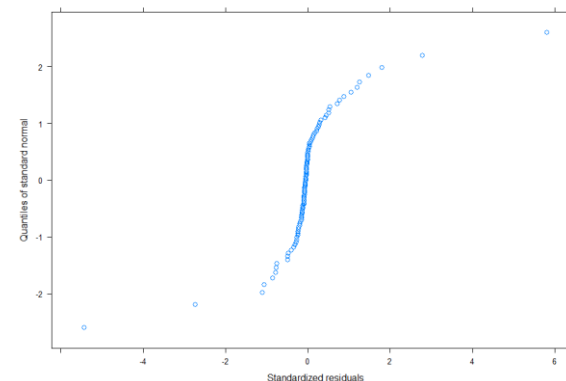
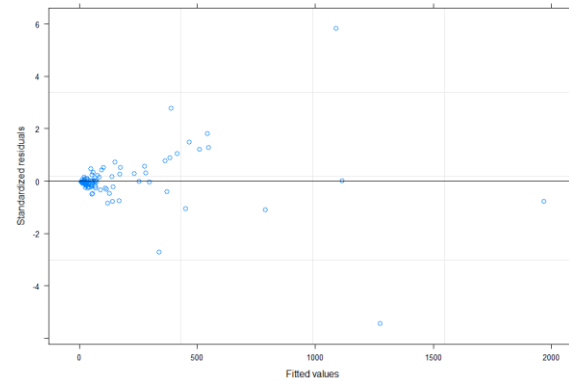
# Modelos de efeitos mistos

## FLORESTAS NATIVAS

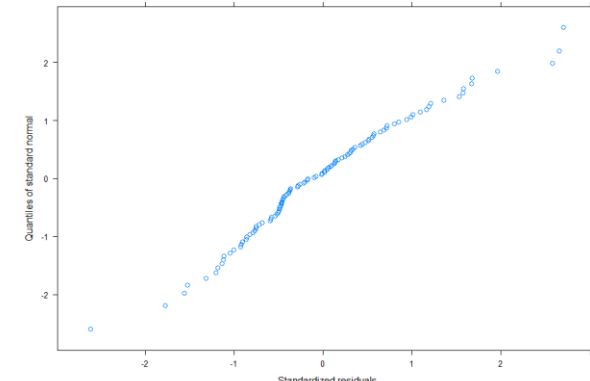
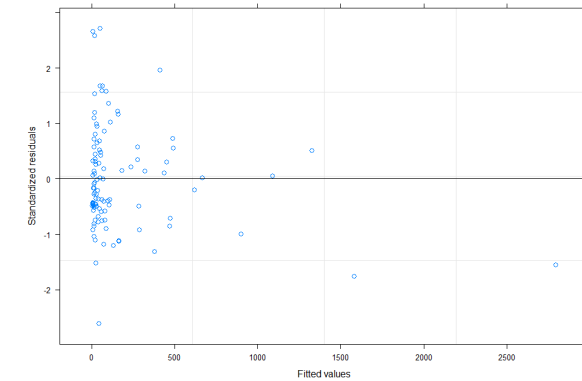
OLS |  $\sigma^2$



NLME |  $\sigma^2$



NLME |  $\sigma^2.dbh_{ij}^{(0.2)}$



# Modelos de efeitos mistos

## FLORESTAS NATIVAS

### Akaike Information Criteriom (AIC)

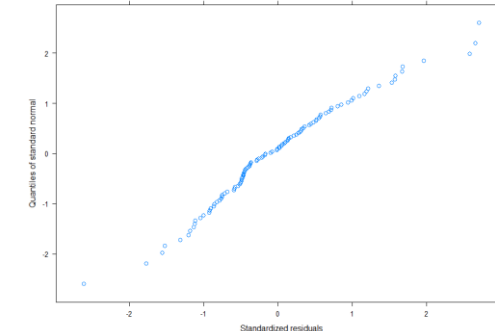
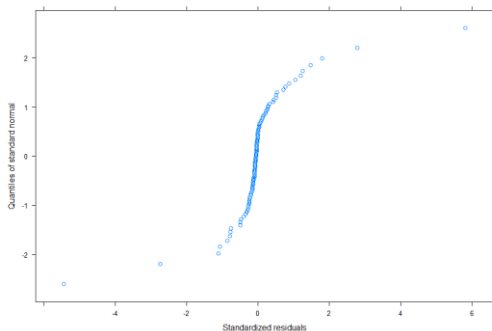
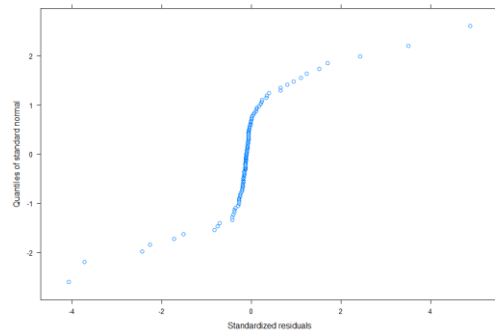
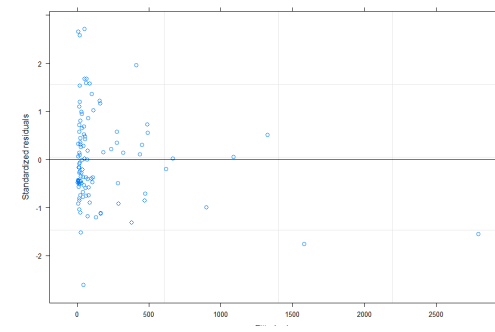
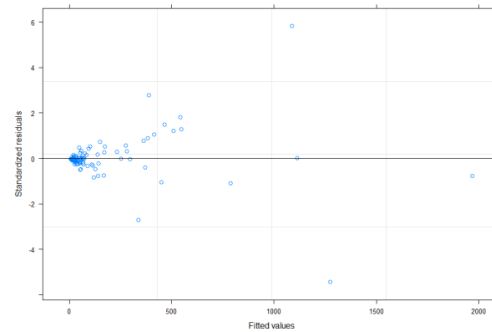
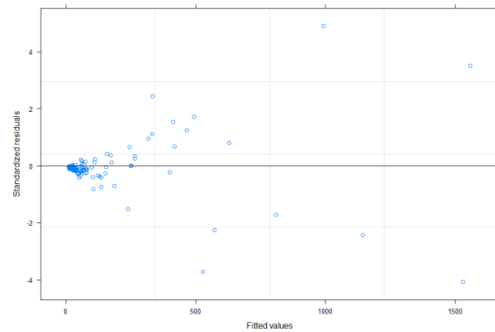
$$AIC = 2k + 2 \ln(\hat{L})$$

- *Sendo  $k$  o número de parâmetros,  $\ln(\hat{L})$  o de log-verossimilhança do modelo.*

# Modelos de efeitos mistos

## FLORESTAS NATIVAS

OLS   $\sigma^2$	NLME   $\sigma^2$	NLME   $\sigma^2.dbh_{ij}^{(0.2)}$
AIC = 1285.7897	AIC = 1225.6837	AIC = 910.1343



# Modelos de efeitos mistos

## FLORESTAS NATIVAS

- Elevada diversidade de espécies
  - Heterogêneas
  - Inequiâneas
  - **Legalmente protegidas**

# Modelos de efeitos mistos

## FLORESTAS NATIVAS

- Elevada diversidade de espécies
  - Heterogêneas
  - Inequiâneas
  - **Legalmente protegidas**
    - **Calibração de modelos**



# Modelos de efeitos mistos

## Calibração de modelos mistos:

- $agb_{ij} = \phi_1 \cdot dbh_{ij}^{\phi_2} \cdot \epsilon_{ij}$
- $\ln(agb_{ij}) = \phi_1 + \phi_2 \cdot \ln(dbh_{ij}) + \epsilon_{ij}$

$$\phi = \begin{bmatrix} \phi_{1i} \\ \phi_{2i} \end{bmatrix} = \begin{bmatrix} \beta_1 \\ \beta_2 \end{bmatrix} + \begin{bmatrix} b_1 \\ b_2 \end{bmatrix} = \beta + b$$

$$b \sim N(0, \Psi), \quad \epsilon_{ij} \sim N(0, \sigma^2)$$

# Modelos de efeitos mistos

## Calibração de modelos mistos:

- $\ln(agb_{ij}) = (\beta_0 + b_{0j}) + (\beta_1 + b_{1j}) \cdot \ln(dbh_{ij}) + \epsilon_{ij}$

$$\text{BLUP}(b_j) = \hat{b}_j = DZ'(ZDZ' + R)^{-1} (y - \mu)$$

$$\text{var}(\hat{b}_j - b_j) = D - DZ'(ZDZ' + R)^{-1} ZD$$

*Sendo: D a matriz de variância e covariância dos efeitos aleatórios; Z matriz design  $n \times p$  ( $n$ =número de árvores e  $p$  o número de parâmetros); R a variância dos efeitos aleatórios vezes a matriz I;  $y_j$  a média das novas observações; e  $\mu$  a média para as mesmas observações preditas pelo parâmetros fixos da equação antes da calibração.*

# Modelos de efeitos mistos

## FLORESTAS NATIVAS

### LOCAL DE ESTUDO

- 0.8 ha
- 90 espécies
- 15 espécies = amostra
  - Calibração para nova espécie

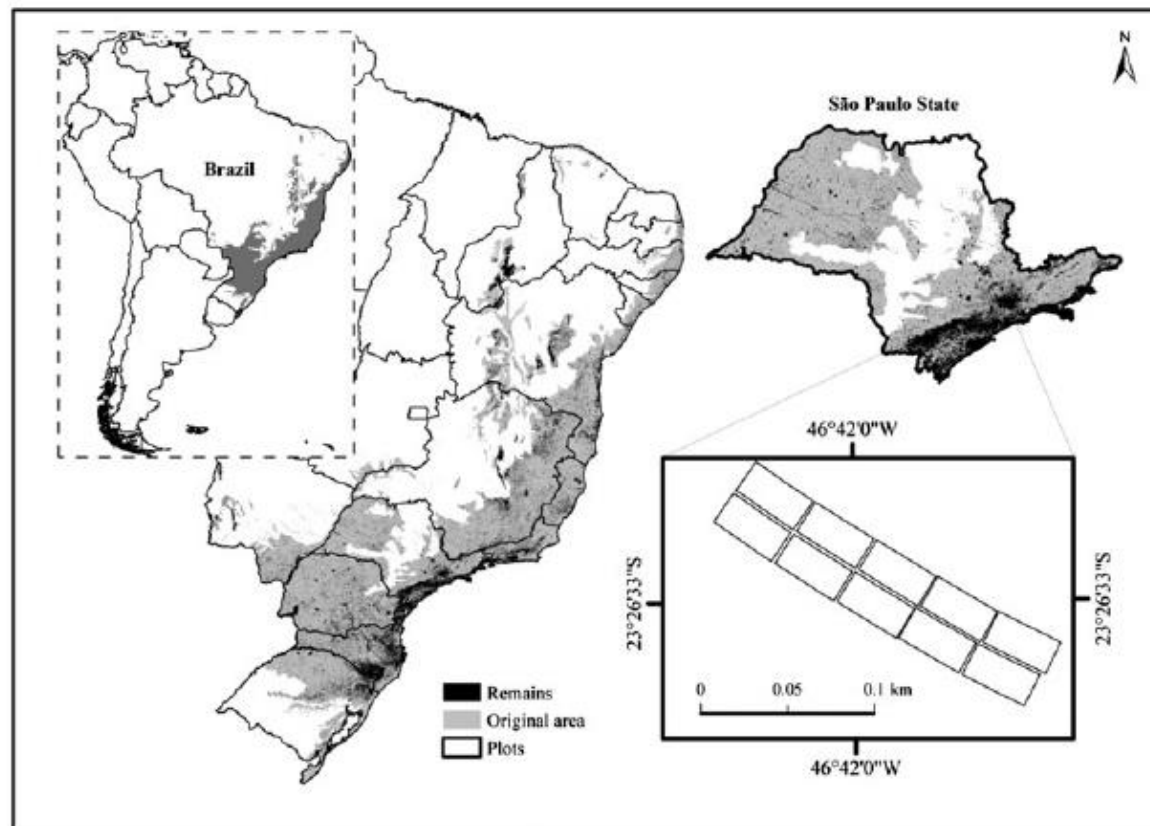


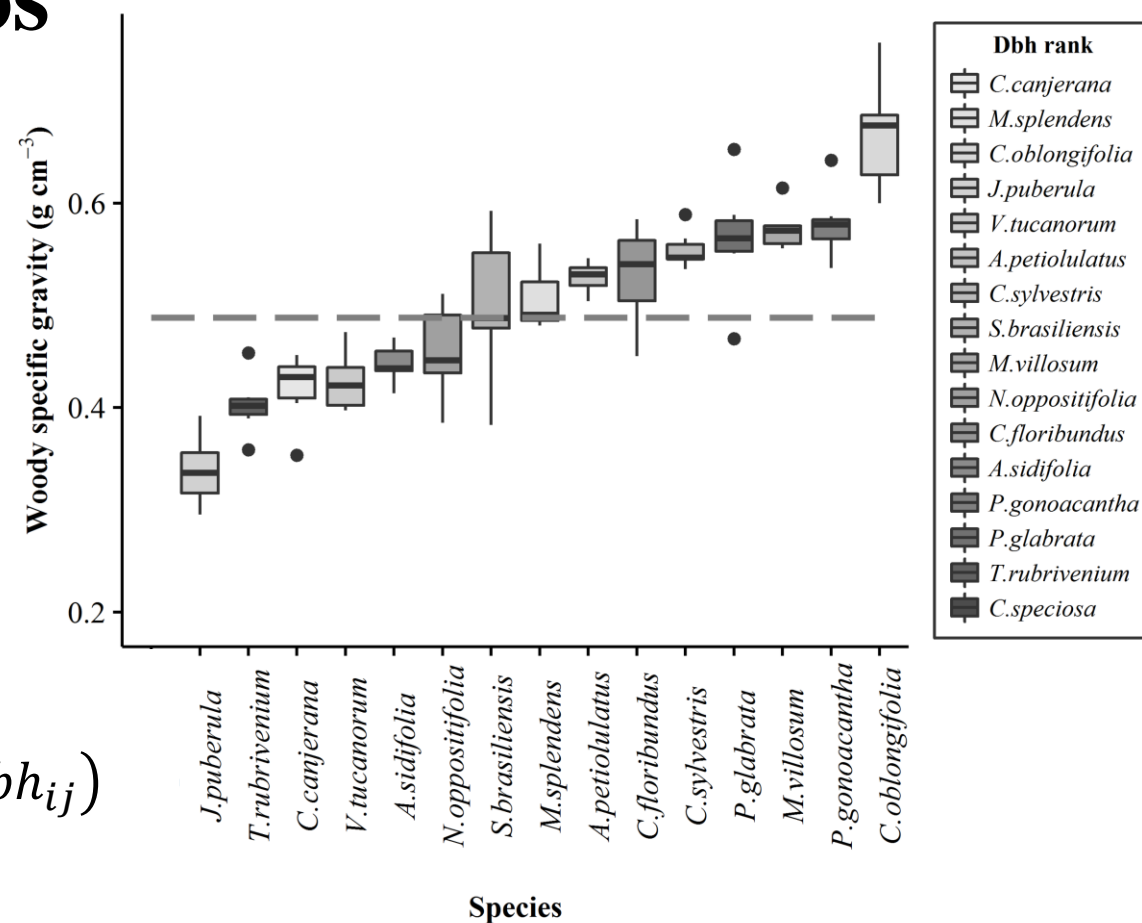
Figure 1. Plots on the study site located in Atlantic Forest near São Paulo, Brazil (sources: SOS Mata Atlântica, 2013; MMA, 2012; IBGE, 2010).

# Modelos de efeitos mistos

## Calibração de modelos mistos

Exemplo:

- 15 espécies
- $\rho = 0.34 - 0.68 \text{ g cm}^{-3}$  ( $0.5 \text{ g cm}^{-3}$ )
- $DBH = 5.4 - 68.5 \text{ cm}$  ( $16.1 \text{ cm}$ )
- $\ln(a|ij) = (2.178 + b_{0j}) + (2.356 + b_{1j}) \cdot \ln(dbh_{ij})$

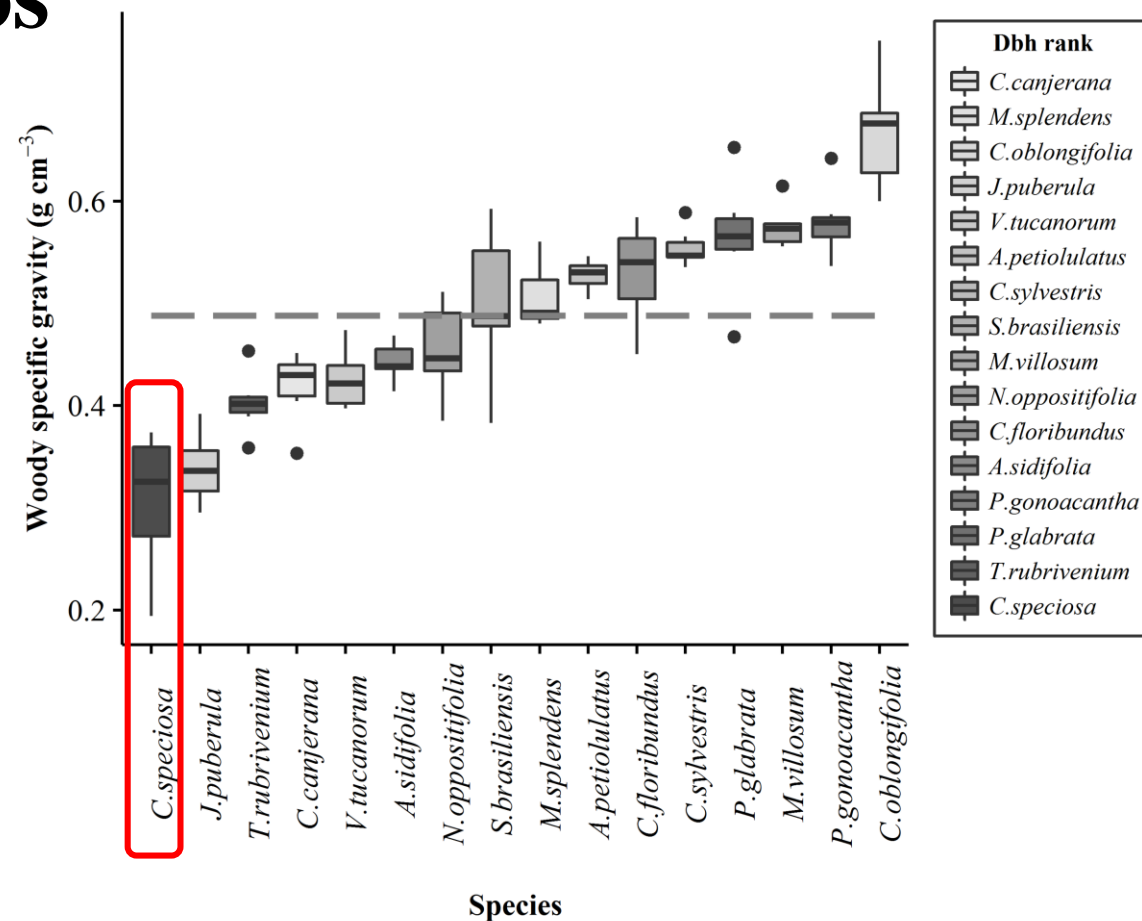


# Modelos de efeitos mistos

## Calibração de modelos mistos

Exemplo:

- *Ceiba speciosa* (paineira)
- $\rho = 0.31 \text{ g cm}^{-3}$
- $DBH = 6.0 - 67.8 \text{ cm}$  (32.1cm)



# Modelos de efeitos mistos

## Calibração de modelos mistos

$$\ln(a|ij) = (2.178 + b_{0i}) + (2.356 + b_{1i}) \cdot \ln(dbh_{ij}) + \epsilon_{ij}$$

- Predizendo um efeito aleatório com três árvores de *C. speciosa*:

$$dbh = \begin{bmatrix} 6.00 \\ 25.85 \\ 40.65 \end{bmatrix} \text{ cm}, \quad agb = \begin{bmatrix} 2.3 \\ 85.77 \\ 342.42 \end{bmatrix} \text{ kg}$$

# Modelos de efeitos mistos

## Calibração de modelos mistos

- O efeito aleatório pode ser obtido:

$$\left( \begin{bmatrix} 1 & 6.00 \\ 1 & 25.85 \\ 1 & 40.65 \end{bmatrix}^t \cdot \begin{bmatrix} 0.0476 & 0 & 0 \\ 0 & 0.0476 & 0 \\ 0 & 0 & 0.0476 \end{bmatrix} \cdot \begin{bmatrix} 1 & 6.00 \\ 1 & 25.85 \\ 1 & 40.65 \end{bmatrix} \cdot \begin{bmatrix} 0.03318 & 0 \\ 0 & 2.3 e^{-13} \end{bmatrix} \right)^{-1} \cdot \begin{bmatrix} 1 & 6.00 \\ 1 & 25.85 \\ 1 & 40.65 \end{bmatrix}^t \cdot \begin{bmatrix} 0.0476 & 0 & 0 \\ 0 & 0.0476 & 0 \\ 0 & 0 & 0.0476 \end{bmatrix} \cdot \begin{bmatrix} \log(2.3) - 2.053 \\ \log(85.77) - 5.479 \\ \log(342.42) - 6.541 \end{bmatrix} =$$

$$\begin{bmatrix} -0.6998 \\ -0.0050 \end{bmatrix}$$

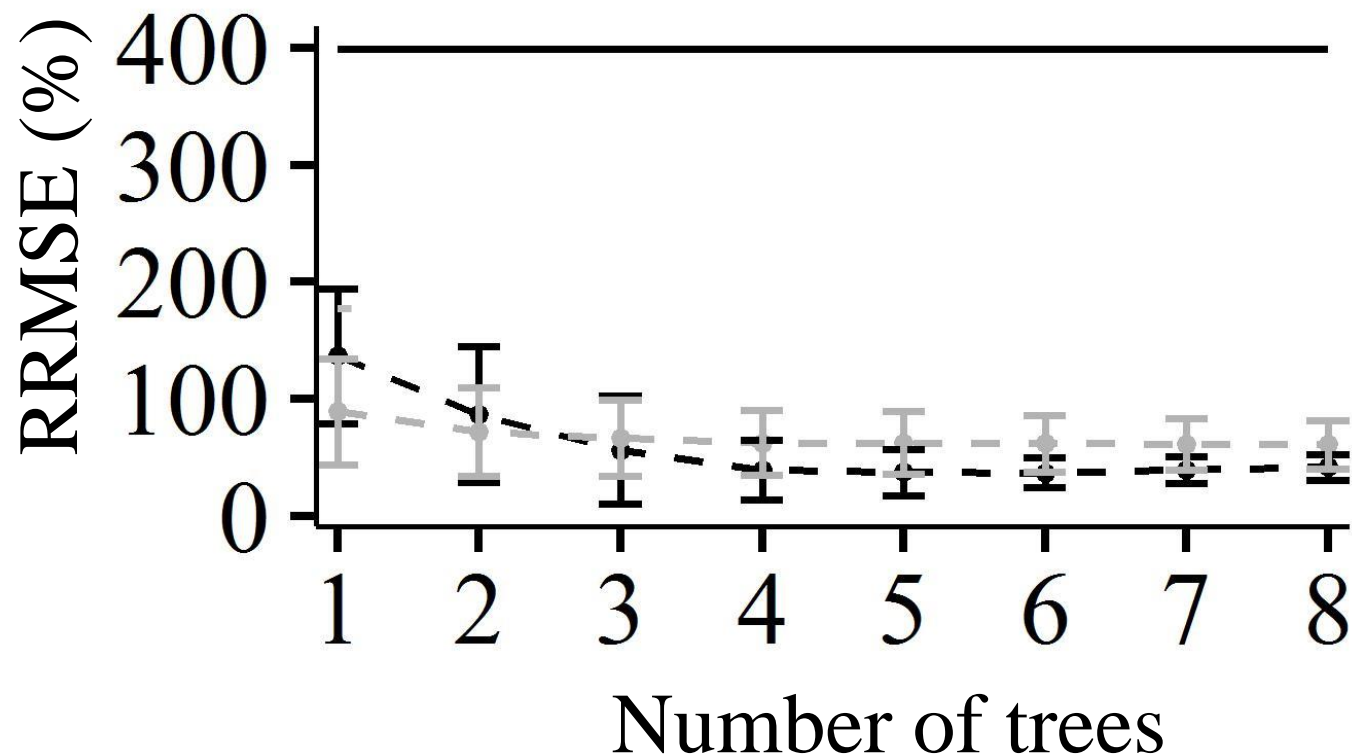
- Modelo calibrado para *C. speciosa*:

$$\ln(a|ij) = (2.178 - \mathbf{0.6998}) + (2.356 - \mathbf{0.0050}) \cdot \ln(dbh_{ij}) + \epsilon_{ij}$$

# Modelos de efeitos mistos

## Calibração de modelos mistos

*C. speciosa*





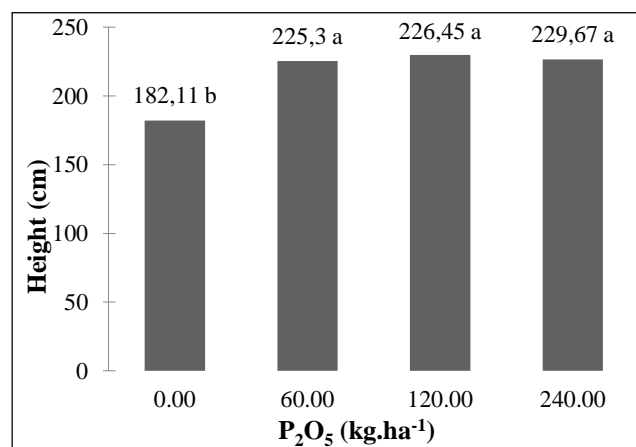
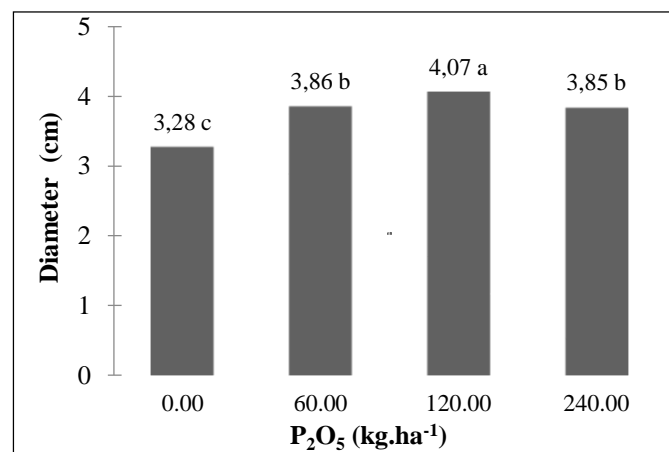
# Modelos de efeitos mistos

- Análise experimental, comparação de modelos e o uso de modelos de efeito misto.

# Modelos de efeitos mistos

## *Schizolobium amazonicum* Huber ex. Ducke (Paricá)

- Rápido crescimento
- Production of plywood



12 months after planting



# Modelos de efeitos mistos

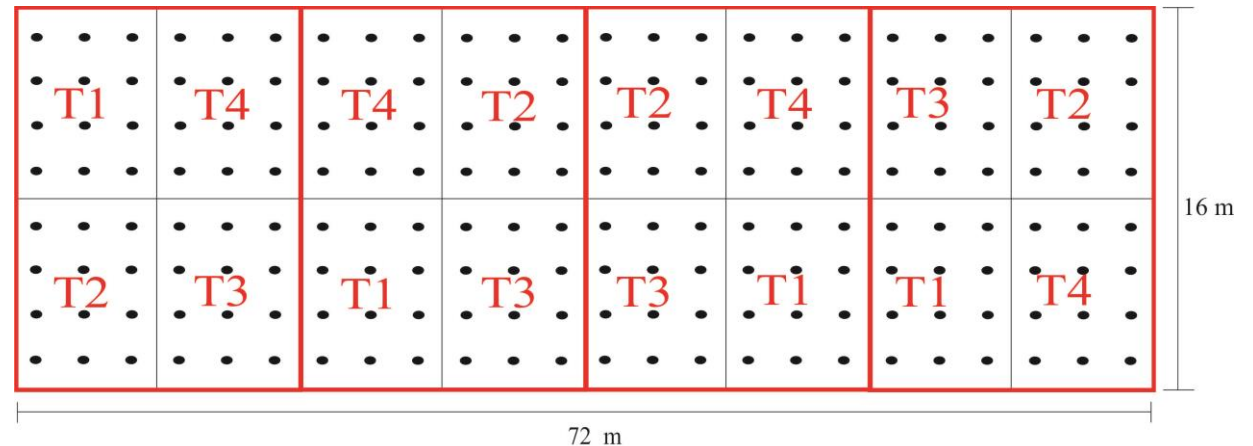
## Design experimental

- Four treatments

- 0 Mg P<sub>2</sub>O<sub>5</sub> ha<sup>-1</sup>
- 0.06 Mg P<sub>2</sub>O<sub>5</sub> ha<sup>-1</sup>
- 0.12 Mg P<sub>2</sub>O<sub>5</sub> ha<sup>-1</sup>
- 0.24 Mg P<sub>2</sub>O<sub>5</sub> ha<sup>-1</sup>

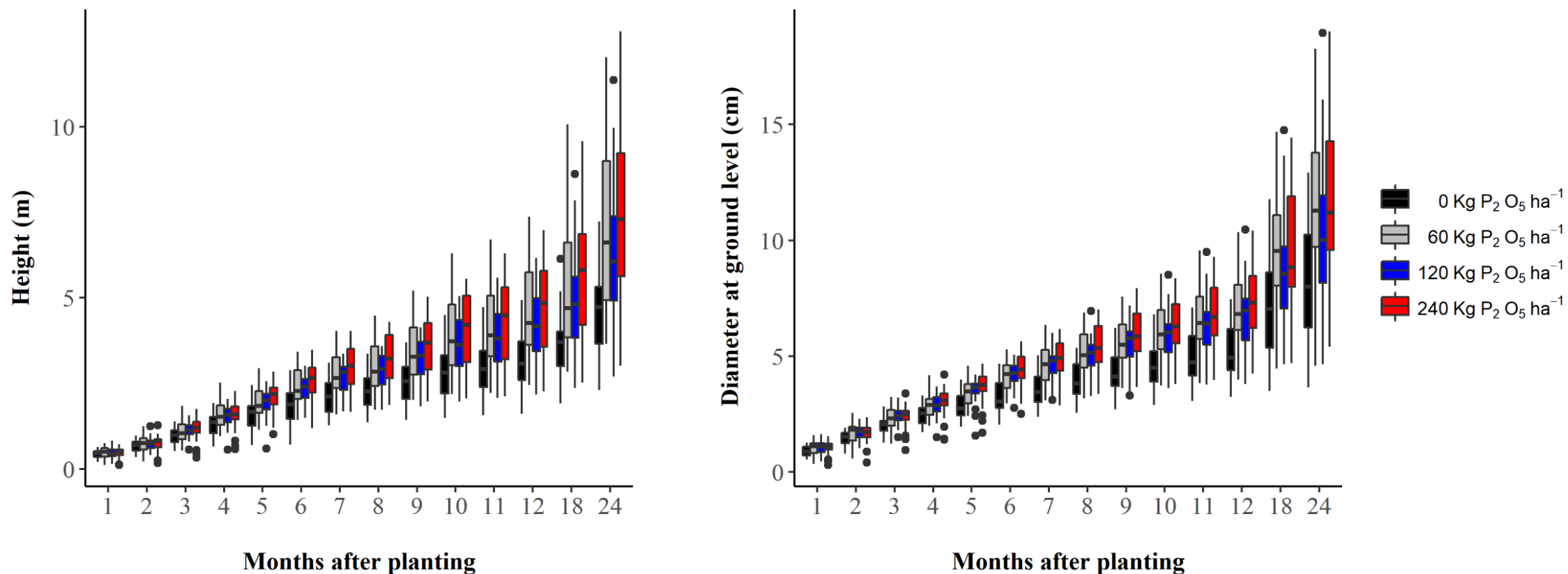
- Four Blocks

- 14 measurements of diameter and height



# Modelos de efeitos mistos

- Análise experimental e comparação de modelos



# Modelos de efeitos mistos

## MODELOS DE CRESCIMENTO:

- Shumacher equation

$$\bullet y_{ijk} = \phi_{1ijk} \exp [-\phi_{2ijk}/t] + \epsilon_{ijk} \quad (eq. 1)$$

- General logistic equation

$$\bullet y_{ijk} = \frac{\phi_{1ijk}}{1 + \exp [-(t - \phi_{2ijk}) / \phi_{3ijk}]} + \epsilon_{ijk} \quad (eq. 2)$$

- Monomolecular equation

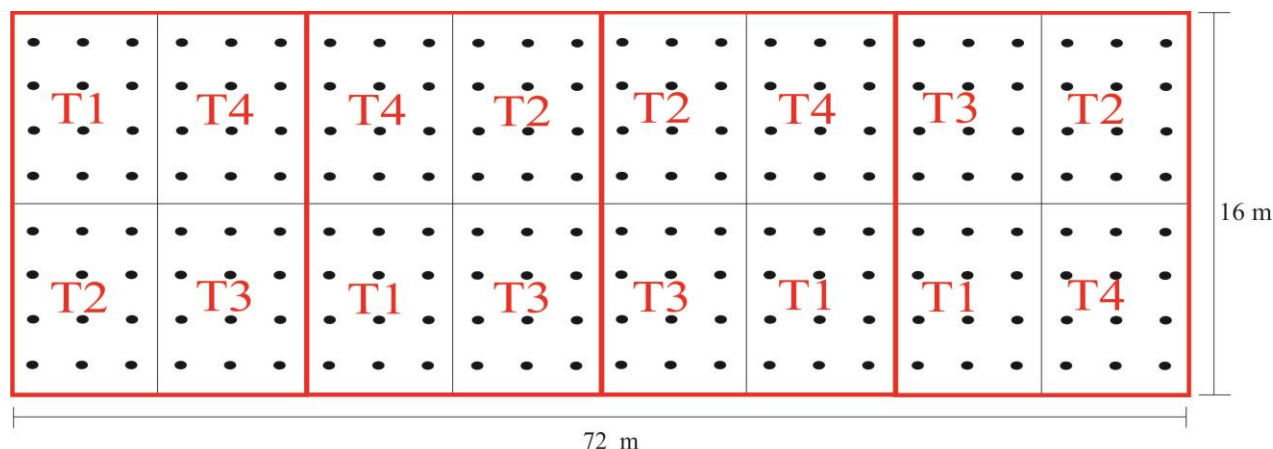
$$\bullet y_{ijk} = \phi_{1ijk} \cdot (1 - \phi_{2ijk} \cdot \exp [-\phi_{3ijk} \cdot t]) + \epsilon_{ijk} \quad (eq. 3)$$

# Modelos de efeitos mistos

- $b_{ijk} \sim N(0, \Psi)$ ,  $\epsilon_{ijk} \sim N(0, \sigma^{**})$
- $\sigma^{**} = \text{Var}(\epsilon_{ij}) = \sigma^2 |\text{months}|^{2\delta}$
- Pacote *nlme*
- Níveis de efeitos aleatórios
- Variável indicativa entre os tratamentos para comparar os modelos

# Modelos de efeitos mistos

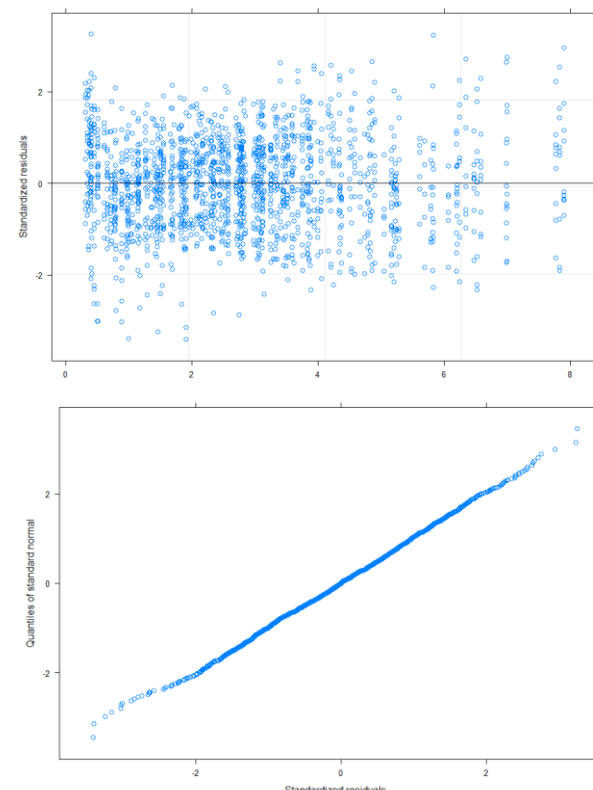
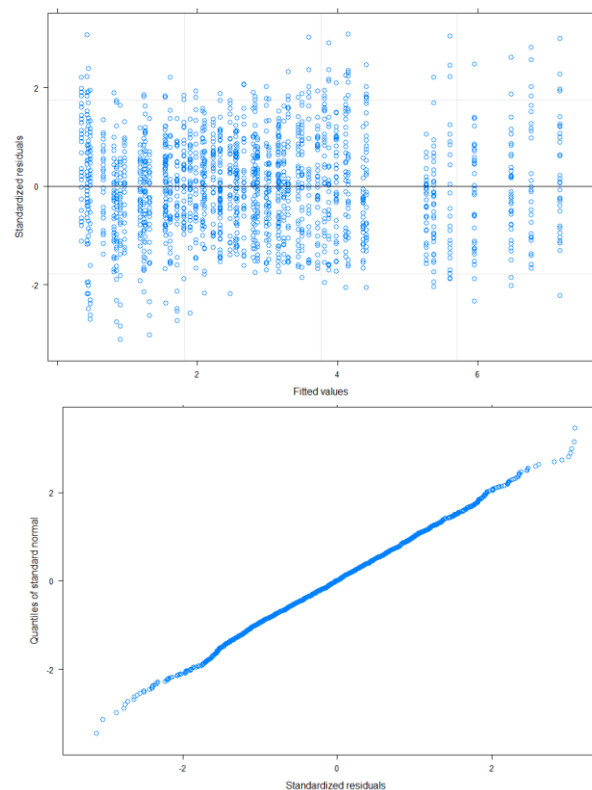
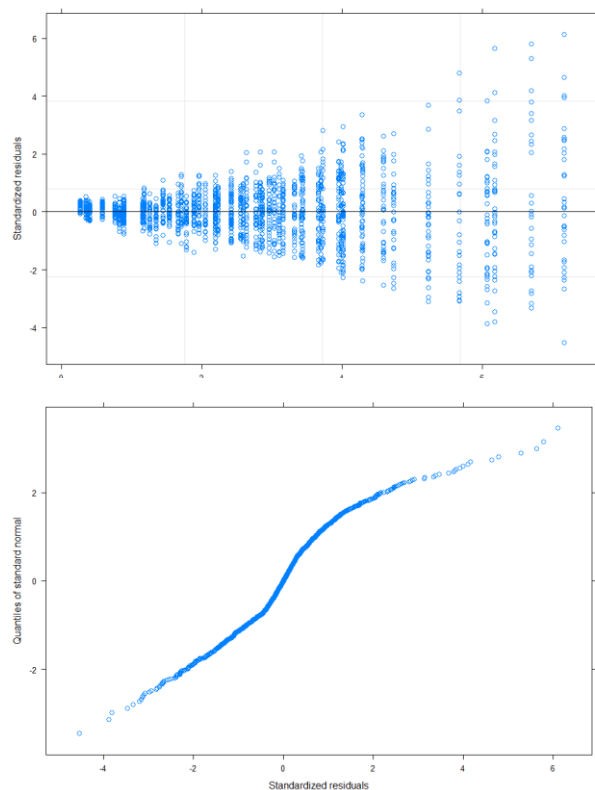
- Mais de um nível de efeito aleatório: modelos multiníveis
- Os efeitos aleatórios são “aninhados” (nested) em níveis hierárquicos
- Efeito aleatórios: bloco / tratamento



# Modelos de efeitos mistos

- Modelagem da variância e níveis hierárquicos de efeitos aleatórios para o diâmetro de paricá

NLME   trat   $\sigma^2$	NLME   trat   $\sigma^2.months^{(2\delta)}$	NLME   bloc/trat   $\sigma^2.months^{(2\delta)}$
AIC = 4766.921	AIC = 3319.933	AIC = 3092.573





# Modelos de efeitos mistos

- Comparação de modelos

Model	AIC	
	Height	Diameter
Monomolecular (eq.3)	3066.968	4467.239
Logistic (eq.2)	3245.770	4838.033
Shumacher (eq.1)	3948.514	5849.342

# Modelos de efeitos mistos

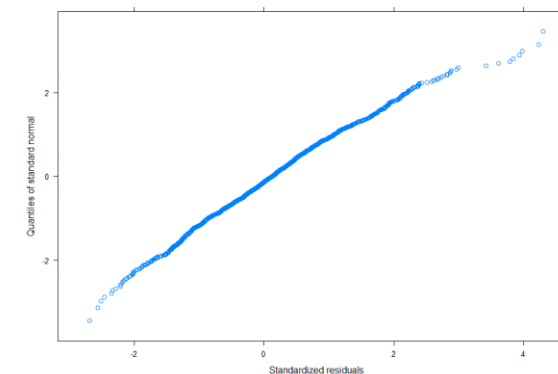
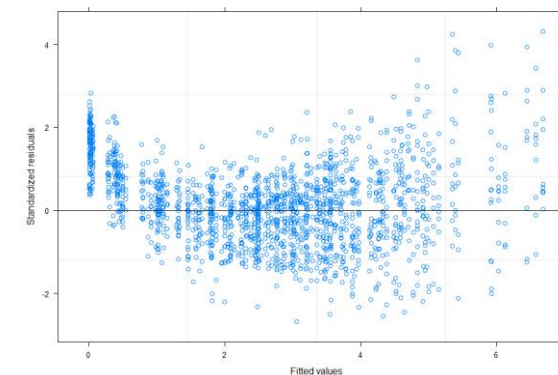
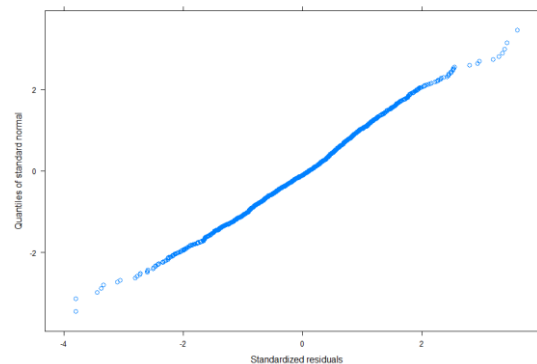
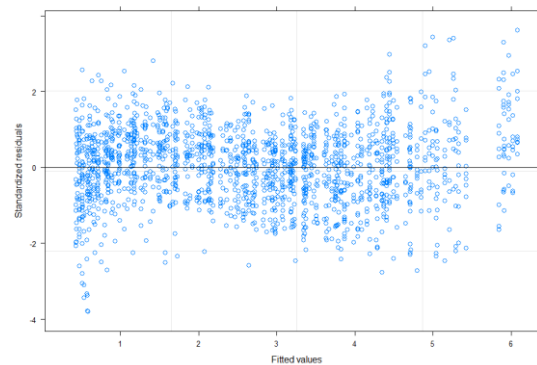
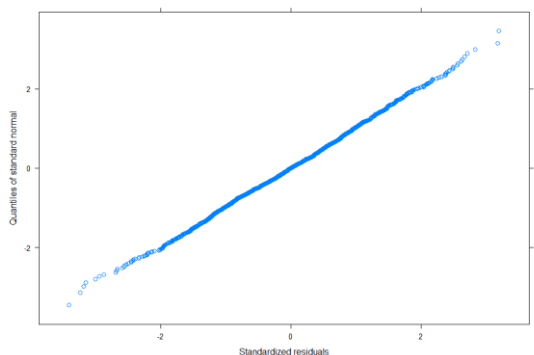
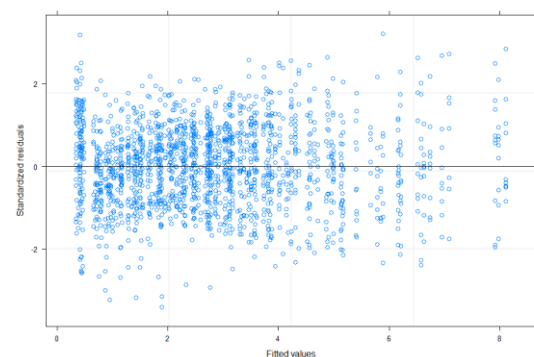
Modelagem da altura (m) de *S. amazonicum* em diferentes concentrações de fósforo.

Model	$\beta_1$	$\beta_2$	$\beta_3$	[kg P <sub>2</sub> O <sub>5</sub> ha <sup>-1</sup> ]	Indicator variable	F-value	p-value
Monomolecular	9.014	0.982	0.048	0	-	-	-
				60	0.029	0.500	0.470
				120	0.021	0.200	0.625
				240	0.033	6.200	<b>0.013</b>
Logistic	5.230	6.502	3.049	0	-	-	-
				60	1.231	9.482	<b>0.002</b>
				120	0.766	1.528	0.217
				240	1.292	55.631	<b>&lt;.0001</b>
Shumacher	6.237	4.276	-	0	-	-	-
				60	1.811	10.069	<b>0.002</b>
				120	0.989	0.115	0.735
				240	1.973	47.238	<b>&lt;.0001</b>

# Modelos de efeitos mistos

## Comparando modelos com variáveis indicativas para altura

Monomolecular   bloc/trat   $\sigma^2.months$ <sup>(2<math>\delta</math>)</sup>	Logistic   bloc/trat   $\sigma^2.months$ <sup>(2<math>\delta</math>)</sup>	Shumacher   bloc/trat   $\sigma^2.months$ <sup>(2<math>\delta</math>)</sup>
AIC = 3066.968	AIC = 3245.770	AIC = 3948.514



# Modelos de efeitos mistos

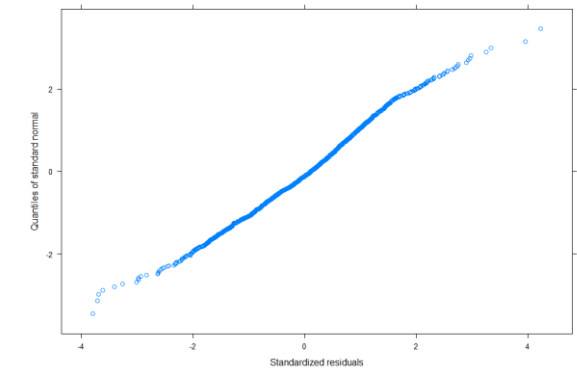
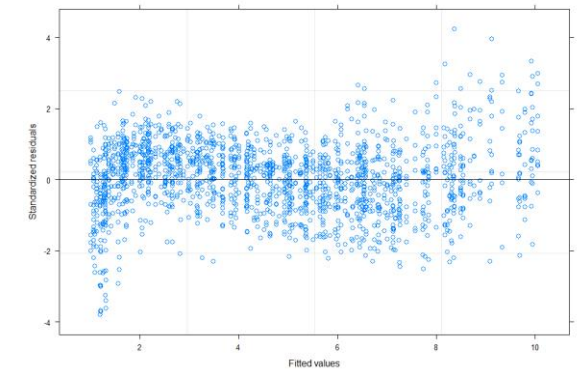
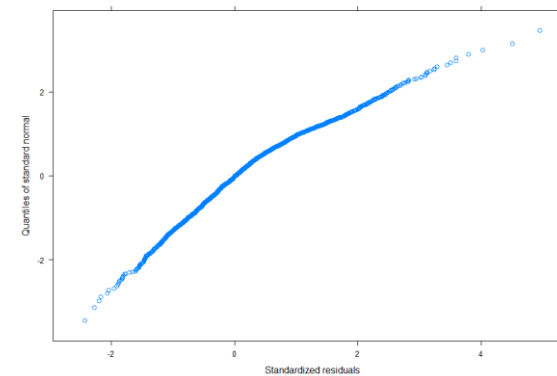
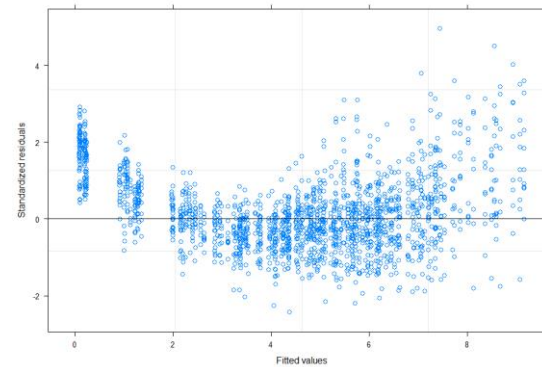
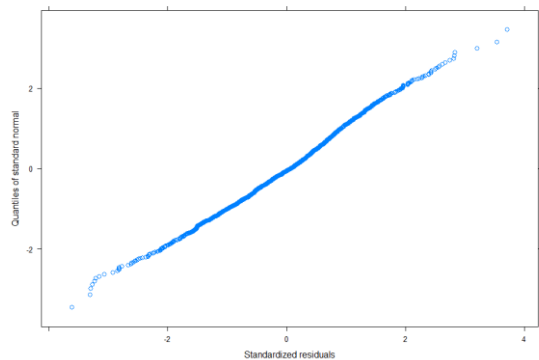
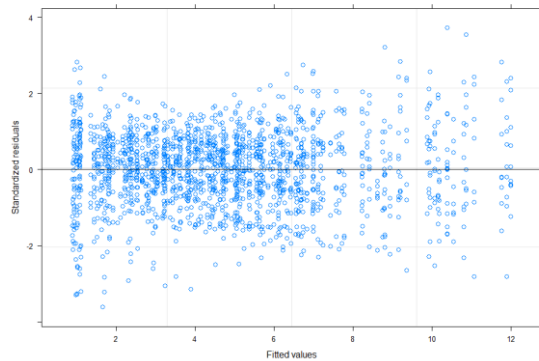
Modelagem do diâmetro (cm) de *S. amazonicum* em diferentes concentrações de fósforo.

Model	$\beta_1$	$\beta_2$	$\beta_3$	[kg P <sub>2</sub> O <sub>5</sub> ha <sup>-1</sup> ]	Indicator variable	F-value	p-value
Monomolecular	15.563	0.964	0.044	0			
				60	0.02074	0.900	0.331
				120	0.009	0.500	0.461
				240	0.022	2.900	0.090
Logistic	10.094	8.147	4.269	0			
				60	0.995	9.351	<b>0.002</b>
				120	0.161	2.612	0.106
				240	0.771	8.869	<b>0.003</b>
Shumacher	12.471	6.142	-	0			
				60	1.547	26.347	<b>&lt;.0001</b>
				120	0.242	5.416	<b>0.020</b>
				240	1.119	19.488	<b>&lt;.0001</b>

# Modelos de efeitos mistos

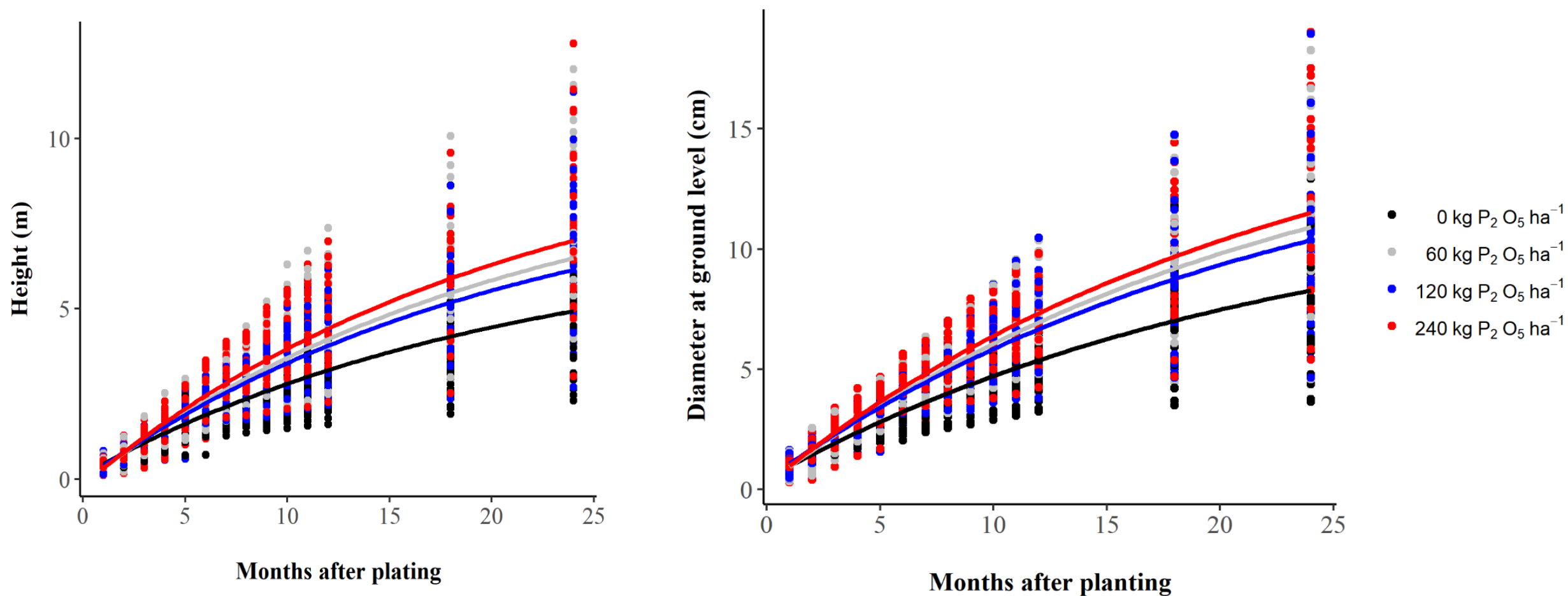
## Comparando modelos com variáveis indicativas para diâmetro

Monomolecular   bloc/trat   $\sigma^2.months$ <sup>(2δ)</sup>	Logistic   bloc/trat   $\sigma^2.months$ <sup>(2δ)</sup>	Shumacher   bloc/trat   $\sigma^2.months$ <sup>(2δ)</sup>
AIC = 4467.239	AIC = 4838.033	AIC = 5849.342



# Modelos de efeitos mistos

- Ajuste com modelos de efeito misto



# Referências

- Lappi, J. 1991. Calibration of height and volume equations with random parameters. For. Sci. 37: 781–801.
- Pinheiro and Bates, 2000. Mixed-effects models in S and S-plus.
- Burkhardt, E.H.; Tomé, M. 2012. Modeling Forest Trees and Stands. Springer, New York, NY, USA.
- Colmanetti, MAA. 2018. Aboveground biomass and carbon estimate at Brazilian Atlantic Forest.
- R Development Core Team (2018). R: A language and environment for statistical computing. R Foundation for Statistical Computing, Vienna, Austria. ISBN 3-900051-07-0, URL <http://www.R-project.org>.